

中等专业学校教学用書

内燃机車

下册

C·A·沙夫藍諾夫斯基

H·З·彼烈薇爾捷夫 著

H·И·柯罗了夫

人民鐵道出版社

中等專業学校教学用書
內 燃 机 車
(構造、計算及修理)
第二版 修訂版
下 冊

C·A·沙夫藍諾夫斯基 H·З·彼烈薇爾捷夫 H·И·柯羅了夫著
高 明 等 譯

人 民 鐵 道 出 版 社
一九五八年·北京

本書中譯本分上下兩冊出版。內容闡述了蘇聯鐵路上運用的內燃機車的構造和修理；比較詳細地敘述了Д50型發動機的部件和零件、發動機的輔助設備，以及它們的檢修。書中並列出內燃機工作循環的主要計算、發動機零件的強度計算及內燃機車電氣設備的計算。

本書也簡單地敘述了新的大功率的ТЭ3型內燃機車及其牌號為2Д100的內燃機的構造。書末並提供了關於重油列車、煤气發生爐式內燃機車及Д6型內燃機車的一般知識。

本書經蘇聯交通部教育總局批准作為鐵路運輸中等技術學校教科書。

本書除作為鐵路中等專業學校教材外，同時也可供從事內燃機車設計、製造、修理、運用等部門的工程師、技術員以及有關人員學習及參考之用。

內燃機車 下冊

ТЕПЛОВОЗЫ

С·А·ШАФРАНОВСКИЙ

苏联 Н·З·ПЕРЕВЕРЗЕВ 著

Н·И·КОРОЛЁВ

苏联国家铁路运输出版社（1955年莫斯科俄文版）

TRANSCHELDORFIZDAT Москва 1955

高明等譯

人民鐵道出版社出版

（北京市霞公府17号）

北京市書刊出版業營業許可證出字第010号

新華書店發行

人民鐵道出版社印刷厂印

（北京市建國門外七聖廟）

書名 988 开本 787×1092 印張 15 各 挿頁 3 字數 334 千

1958 年 7 月 第 1 版

1958 年 7 月 第 1 版 第 1 次 印 刷

印数 0001 — 2,200 册 定价 (10) 2.30 元

目 录

第八章 内燃机車的电力傳动基础

§1. 电机的用途	1
§2. 电力傳动装置的操縱	1
§3. 电力傳动装置的調節	4
§4. 发电机双曲綫型特性曲綫的图解获得法	11
§5. 内燃机車自动操縱的原理电路图	12

第九章 内燃机車的电机

§1. 主发电机	24
§2. 双机組合机	32
§3. 牵引电动机	37
§4. 牵引电动机的計算	47
§5. 牵引电动机的发热和通风	62
§6. 辅助燃料泵和加热器风扇的电动机	68
§7. 电机的維护和修理	72
§8. 电机的故障及故障的消除法	83

第十章 内燃机車的电器

§1. 电器的用途	85
§2. 电器的触头型式	85
§3. 电弧及其物理性能	88
§4. 电器的灭弧装置	90
§5. 触头的驅动装置	91
§6. 接触器	99
§7. 駕駛控制器	103
§8. 电力风动換向器	106
§9. 按鈕开关	108
§10. 内燃机車的繼电器	109
§11. 电压調節器	121
§12. 联鎖磁鐵	124
§13. 测量仪表	126
§14. 其他各种电气设备	128

§15. 电器的修理和维护.....	138
--------------------	-----

第十一章 内燃机車的蓄电池組

§1. 蓄电池組的型式.....	141
§2. TЭ1型和TЭ2型内燃机車蓄电池組的构造.....	147
§3. 蓄电池組的維护及其修理.....	152
§4. 蓄电池組容量的計算原則.....	156

第十二章 TЭ型和TЭ2型内燃机車的电路圖

§1. 内燃机車电路图的种类.....	159
§2. TЭ2型内燃机車的电路图.....	160
§3. TЭ1型内燃机車的电路图.....	182
§4. 电气线路的可能发生的故障，故障发生的原因及消除方法.....	183
§5. 内燃机車电器和电机的試驗和調節.....	186

第十三章 TЭ3型内燃机車

§1. TЭ3型内燃机車的一般知識.....	192
§2. 发动机.....	195
§3. 电气设备.....	197

第十四章 發动机工作循环的計算

§1. 燃料的燃燒.....	202
§2. 四冲程发动机基本过程的計算.....	206
§3. 平均指示压力.....	210
§4. 发动机基本参数的决定.....	211
§5. 两冲程发动机工作循环計算的特点.....	211
§6. 发动机的指示效率及有效效率.....	213
§7. 发动机的热平衡.....	214
§8. Д50型发动机工作循环的計算.....	215

第十五章 發动机零件的强度計算

§1. 作用在活塞上的力.....	222
§2. 力在曲柄連桿机构中的分配.....	227
§3. 徑向力曲綫的作法.....	228
§4. 一个气缸的切向力曲綫的作法.....	229
§5. 总切向力曲綫的作法.....	231
§6. 发动机曲軸不等速轉動的原因.....	231
§7. 曲軸的校核性計算.....	233
§8. 活塞 活塞銷和連桿螺栓的計算.....	241

第十六章 Д型内燃机車，煤气發生爐式内燃机車及重油列車

§1. Д型内燃机車.....	245
§2. 煤气发生爐式内燃机車.....	250
§3. 重油列車.....	254

第八章 内燃机車的电力傳动基础

§1. 电机的用途

在内燃机车上，採用下列主要的电机：

(1) 主发电机，它把热力发动机的机械能轉变成电能，并把电能供給牵引电动机；

此外，主发电机經常供发动机电力起动之用。这时，发电机从蓄电池組那里获得电流，像电动机那样工作，因而驅动了热力发动机的軸；

(2) 激磁机——功率不大的特殊发电机，供主发电机激磁之用；

(3) 用来驅动內燃机車的牵引电动机；

(4) 功率不大的輔助发电机，它們給出的电流供激磁机激磁、蓄电池組充电之用，同时也把电流供給操縱电路及照明电路；

(5) 小功率的特殊电机——电机放大器和测速发电机。前者作激磁机用，后者供主发电机电压和功率附加調節之用。

除了主要的电机以外，在內燃机車上还装有驅动各种輔助机构（泵，风扇及其他）用的小功率电动机，这些电动机与电力傳动沒有直接关系。

§2. 电力傳动裝置的操縱

列車运行时，由於線路縱斷面、信号标誌和其他条件，容許的运行速度經常低於內燃机車发动机功率所能發揮的最大速度。

傳动装置的电路图應該具有調節內燃机車运行速度、也就是調節牵引电动机电樞轉速的可能性。

电动机电樞的轉速根据下式求得：

$$n_{de} = \frac{U_{de} - I_x r_x}{C_{de} \Phi_{de}}, \quad (32)$$

式中 n_{de} ——电樞轉速（轉/分鐘）；

U_{de} ——电动机的端电压（伏）；

$I_x r_x$ ——电动机电樞繞組中的电压损失（伏）；

Φ_{de} ——电动机一对磁极上的磁通（馬力）；

C_{de} ——电动机常数

电动机的端电压与串接在发电机电路中的电动机数 k 有关，即：

$$U_{\text{oe}} = \frac{U_e}{k} \quad (33)$$

这时，我們已略去了連接電纜中的非常小的电阻。

为了对(32)式进行分析，我們確立发电机端电压 U_e 与发电机电动势 E 之間的关系。

发电机的电力平衡方程式如下所示：

$$E = U_e + I_e r_{se}, \quad (34)$$

式中 $I_e r_{se}$ ——发电机电樞繞組中的电压损失（伏），由上式，得：

$$U_e = E - I_e r_{se}. \quad (34a)$$

大家知道，以伏作为单位的发电机电动势可根据下式求得：

$$E = \frac{pn_e}{60} \cdot \frac{N}{a} \Phi_e \cdot 10^{-8}, \quad (35)$$

式中 p ——磁极对数；

n_e ——电樞轉速（轉/分鐘）；

N ——电樞繞組的有效导綫數；

a ——电樞繞組的平行支路对数；

Φ_e ——发电机一对磁极的磁通（馬力）。

比較一下(32)、(33)、(34a)和(35)式，可見：要改变牵引电动机电樞的轉速，也就是要改变內燃机車运行速度的話，必須改变发电机的电动势，这一点可以用改变发电机磁通或发电机电樞轉速（等于热力发动机軸的轉速 n_e ）的办法来实现。这些量的改变同时也調节了发动机的功率。

发电机磁通的改变引起发电机端电压的改变，因而連帶引起牵引电动机电樞的轉速及內燃机車的运行速度也改变了。

倘改变激磁电流从而改变发电机的磁通，則內燃机車发动机功率的改变将在軸轉速恒定的情况下进行。而倘用改变发动机軸轉速及发电机激磁电流的办法来改变发电机电压的話，这就与柴油机的功率在变轉速的情况下发生变化相适应。

此外，当发电机电压恒定时，牵引电动机电樞的轉速可以用改变串联接入的电动机数目的办法以及用改变电动机磁通的办法来进行調节。

实际上，譬如說，如果把电动机組从串联改接成並联，则每台电动机的端电压就急剧地增高。

根据(2)式，牵引电动机电樞的轉速也因而增高。从这个公式得出結論：电动机电樞的轉速随着磁通 Φ_{oe} 的减小而增高。

但是，当发电机具有双曲綫型的特性时（以后将指出，双曲綫型特性对保証最大限度地利用內燃机車发动机的功率來說是必需的），牵引电动机連接簡图的改变或磁通的削弱並不直接导致內燃机車运行状况的改变。实际上，这些办法是用来消

除内燃机车牵引力在激磁方面的限制。

应该指出：现代大功率内燃机车上的热力发动机是用经济性高的柴油机来担当的。因此，以后在研究电力传动时，都是在发动机是柴油机的情况下进行的。

柴油机轴转速恒定时的电力传动的方程式。当柴油机轴的转速恒定时，它的功率的调节可以用改变供油量的办法来实现，所谓供油量就是：在一个工作循环中，送入柴油机一个气缸的燃料重量（以克计）。

当供油量改变时，柴油机功率也相应地改变，因而它的扭矩 M_d 也改变。

这可以从下列公式中看出：

$$M_d = 716.2 \frac{N_i \eta}{n_d} \text{ 公斤公尺,} \quad (36)$$

式中 N_i ——柴油机的指示功率（马力）；

η ——柴油机的机械效率；

n_d ——柴油机轴的转速（转/分钟）。

要使柴油机轴的转速保持恒定，必须使柴油机的扭矩等于发电机的制动力矩 M_e ；也就是：

$$M_d = M_e. \quad (37)$$

发电机的力矩 M_e 根据下列公式求得：

$$M_e = K_e I_e \Phi_e, \quad (38)$$

式中 K_e ——发电机常数，这个常数与发电机的结构参数有关。

从上列公式中看出：要调节发电机力矩的话，必须改变电流强度 I_e 或磁通 Φ_e 。

假定在我们所讨论的那个瞬时，外部牵引力 F_x 等于常量，则各牵引电动机的总电流也应该认为是常量；因而发电机的电流也将是常量。因此，为了使柴油机力矩和发电机力矩保持平衡，就必须改变激磁磁通以调节发电机力矩，而激磁磁通则用调节发电机激磁电流的办法来改变，例如，用控制器来改变接在激磁绕组电路中的变阻器的电阻，从而调节发电机的激磁电流。

发电机磁通的改变引起发电机端电压的改变，也连带引起牵引电动机端电压的改变。同时，牵引电动机电枢的转速及内燃机车的运行速度也改变了。

现在我们讨论下面的例子：设列车在稳定运行时需要增加它的速度，列车的外部阻力及牵引力是常量。当增加柴油机的供油量时，它的功率增大，与此同时，按(36)式，柴油机的扭矩也增大了。

因为牵引力是常量，所以发电机力矩 M_e 仍旧不变；这时，因为柴油机的力矩将大于发电机的力矩 ($M_d > M_e$)，所以等式 $M_d = M_e$ 被破坏了。由于这个缘故，柴油机轴的角速度开始增高。为了使角速度保持恒定，必须借把发电机激磁电流增加到必需的值的办法来使 M_e 增加到 M_d 值。这时，发电机磁通 Φ_e 相应地增大，这就引起力矩 M_e 增大，于是，等式 $M_d = M_e$ 又将成立。

发电机激磁磁通增大时，因为 $E = C_e n_e \Phi_e$ ，所以发电机的电动势也随着增大，

同时，电压 U_2 也随着增大，这样一来，根据(32)式，牵引电动机电枢的轉速也增高了。因此，內燃机車的运行速度也增高了。

在必需降低运行速度的情况下，應該減少柴油机的供油量及发电机的激磁。

柴油机軸轉速变化时的电力傳动装置的操縱。在这种情况下，柴油机功率的調節——內燃机車运行速度的調節——可以用改变柴油机軸角速度的办法来实现，当軸轉速改变时，发电机的功率和电动势也随着改变，即：

$$\left. \begin{aligned} E_{e_1} &= C_e n_{e_1} \Phi_{e_1}, \\ E_{e_2} &= C_e n_{e_2} \Phi_{e_2}. \end{aligned} \right\} \quad (39)$$

这些电动势的比值等于

$$\frac{E_{e_1}}{E_{e_2}} = \frac{n_{e_1} \Phi_{e_1}}{n_{e_2} \Phi_{e_2}} \approx \frac{U_{e_1}}{U_{e_2}}. \quad (40)$$

在柴油机軸轉速改变前及改变后的內燃机車运行速度的比值为：

$$\frac{v_1}{v_2} = \frac{n_{de_1}}{n_{de_2}} \approx \frac{U_{e_1}}{U_{e_2}} \approx \frac{n_{de_1} \Phi_{e_1}}{n_{de_2} \Phi_{e_2}}, \quad (41)$$

也就是说，在用这种方法來調節柴油机功率的时候，內燃机車的速度与柴油机軸的角速度成直線关系，而当用第一种方法調節时，內燃机車的速度将与发电机的磁通量成直線关系。

因此，在发动机軸轉速变化的情况下，为了达到使內燃机車运行速度在一定范围内变动而进行的发电机激磁电流調節的調節範圍大大地減小了。

在現代內燃机車上，只採用这种方法來操縱电力傳动装置。

§3. 电力傳动裝置的調節

对內燃机車傳动裝置的基本要求是：在各种运行条件下，要保証有可能完全利用柴油机的功率。

电力傳动裝置給出在各種線路縱斷面情況下利用柴油机滿載功率的可能性。它能隨着內燃机車运行速度 v 的改变而來調節牽引力 F_x ，使 F_x 与 v 的乘积在理論上保持常量。內燃机車的動輪轉周功率 P_x 等于

$$P_x = \frac{F_x v \times 1,000}{60 \times 60 \times 75 \times 1.36} = \frac{F_x v}{367.2} \text{ 仟瓦.} \quad (42)$$

但是，內燃机車轉周功率 P_x 总是比柴油机功率 P_d 来得小，功率減小之值为輔助机构所耗用的功率 P_{ecn} 以及电机和傳动裝置中所損耗的功率，在考慮后一种功率損耗时，可以利用效率 η_{ns} 。于是，

$$P_x = P_d \eta_{ns} - P_{ecn}. \quad (43)$$

当运行速度改变时， P_{ecn} 和 η_{ns} 的变化範圍非常狭小，因此，在柴油机功率恒定

的条件下，牵引力与速度的关系是：

$$\left. \begin{array}{l} P_c = \text{常量} \\ F_c v = \text{常量} \end{array} \right\} \quad (44)$$

因此，牵引力 F_c 与内燃机车运行速度 v 的关系（即所谓牵引特性）可以用等轴双曲线来表示（图306）。

在这种情况下，最大牵引力 F_{max} 将受到黏着重量 P_c 和轮轨间黏着系数 ψ 的限制，所谓黏着重量就是分配到各动轮轮对上的重量。

倘 P_c 是以吨表示的话，则牵引力的最大值可根据下式求得：

$$F_{max} = 1000 P_c \psi \text{ 公斤。} \quad (45)$$

公式 (45) 中的黏着系数 ψ 与许多因素有关，这些因素是：钢轨表面和轮箍表面的状态，内燃机车的运行速度，牵引电动机的布置等等。对内燃机车来说，黏着系数的数值在 $0.2 \sim 0.25$ 的范围内变化，倘在动轮下面撒以干砂的话，黏着系数之值还可以增高 $15 \sim 20\%$ 。

至于内燃机车的最大速度 v_m 则受到构造速度的限制，构造速度是根据内燃机车各部分的强度决定的。

求得了内燃机车的轮周功率 P_c 以后，我们将求出牵引电动机所需要的功率 P_{de} 。

这个功率可根据下列公式求得：

$$P_{de} = \frac{F_c v}{367.2} \cdot \frac{1}{\eta_{de} \eta_{n_1}} \text{ 千瓦,} \quad (46)$$

式中 η_{de} —— 牵引电动机的效率；

η_{n_1} —— 由牵引电动机至动轴的驱动装置的效率。

另一方面，牵引电动机的功率是从发电机那里获得的，因此这个功率为

$$P_{de} \approx P_e = I_e U_e 10^{-3} \text{ 千瓦,} \quad (47)$$

式中 I_e —— 电动机或发电机的电流（安）；

U_e —— 发电机的端电压（伏）。

从发电机至各电动机的供电电缆中的电压损失略去不计。

根据 (46) 和 (47) 式，并考虑到 (44) 式的条件，于是可得出结论，即：发电机功率应该是常量，因此，

$$I_e U_e = \text{常量。} \quad (48)$$

因此，当发电机负载电流改变时，其端电压应该与电流成反比例地改变，也就是，发电机的外特性曲线 $U_e = f(I_e)$ 应该具有等轴双曲线的形状（参看图306）。

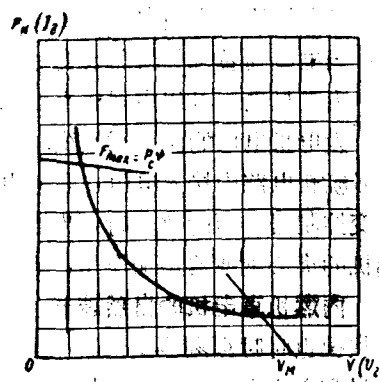


图306 电力传动的内燃机车的牵引特性曲线

发电机的电流决定于外载荷，而外载荷又与列车的运行阻力有关。因此，实际上，当电流随着外载荷而改变时，要满足条件(48)就必须调节发电机的电压。

发电机电压可以由司机人工地调节，这种调节方法应用在第一批苏联内燃机车上。发电机电压的调节用改变激磁电流的方法来进行。为此，在发电机和激磁机的他激绕组电路中接入电阻，各级电阻可以用适当的控制器的各触指来闭合。当司机改变控制器手柄的位置时，发电机电压也随之改变。司机操纵柴油机的办法是对柴油机的离心调速器施加作用，也就是用改变给定的轴转速的办法来进行操纵。

内燃机车电机的自然调节。线路纵断面通常经常变化，因此，内燃机车的工作状况也时时刻刻地变化着，司机应该经常注意测量仪表的指示，调节柴油机的供油量和主发电机的电压，以适应于线路纵断面的变化。用这种方法来保证获得运行所必需的功率，而且不让柴油机过载。可见，列车的正确运行在很大程度上与司机的技术有关。

为了使发电机功率调节这个问题容易化，为了减轻司机的劳动、不让柴油机过载，以及保证内燃机车各机器正常工作起见，采用了发动机和电机的自动调节系统。

电机的自动调节可以用自然调节或用特殊的发电机调节器来达到。也有采用联合调节系统的，这时，各电机的特性曲线保证自然调节，另外，还附加了旨在提高柴油机功率利用率的调节器。

内燃机车电机自然调节的实质就是：在内燃机车各种运行速度时，电机的特性曲线能保证在电流改变时用相应地改变电压的方法来使主发电机自动建立和维持恒定功率。这一点可以靠改变发电机的激磁磁通来达到。

实际上，内燃机车电机的自然调节可以用下列各种方法来实现：

1. 用差复激绕组来调节他激发电机的磁通。差复激绕组由发电机本身供电（图307），它被布置在供给牵引电动机 M 的发电机 G 的主极上。激磁机 B 只有并激绕组 a 。差复激绕组磁通的方向与他激绕组磁通的方向相反。

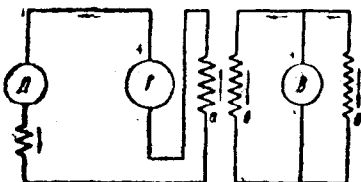


图307 差复激发电机的调节简图

因此，当牵引力 F_x 增大时，也就是当电路中的电流增大时，差复激绕组 a 将使他激绕组 b 去磁，由于这个缘故，在我们所讨论的差复激发电机的电枢中，产生较小的电动势，因而发电机端电压也减小了。但这时发电机功率 $P_s (= I_s U_s)$ 并不精确地保持恒定。

为了改善发电机的特性曲线，必须对发电机磁系统选择一定的饱和度。当发电机磁系统的饱和度低时，他激磁通 Φ_h 和差复激磁通 Φ_c 几乎是精确的代数差，因而总的激磁磁通 Φ 等于

$$\Phi \approx \Phi_h - \Phi_c \approx \frac{0.4\pi(I_h W_h - I_c W_c)}{R_s} = \frac{0.4\pi(I_h W_h - I_f W_c)}{\mu S_s}, \quad (49)$$

式中 I_n 和 I_c ——發電機他激繞組和差復激繞組的激磁電流（安）；

W_n 和 W_c ——這些繞組的匝數；

l_a ——磁導體長度（公分）；

S_a ——磁導體橫截面面積（公分²）；

μ ——介質的導磁系數。

因為在磁飽和度低的時候，磁導體的磁阻與激磁的安培匝數關係不大，所以激磁磁通 Φ_n 和 Φ_c 幾乎分別與安培匝數 $I_n W_n$ 和 $I_c W_c$ 成正比。

對於總磁通 Φ 的發電機端電壓 U_e 等於他激繞組和差復激繞組所造成電壓 U_n 和 U_c 之差，即：

$$U_e = U_n - U_c$$

從圖 308 中（曲線 1）看出：由於上述磁通 Φ_n 和 Φ_c 相互作用的結果，磁飽和度低的差復激發電機的外特性曲線不是等軸雙曲線，因而當發電機負載電流改變時，並不能保證其必需的功率恒定性。

反轉來，當發電機磁系統為飽和時，安培匝數之差仍照舊，但總磁通

$$\Phi = \frac{0.4\pi(I_n W_n - I_c W_c)}{R_a} \quad (50)$$

則幾乎為常量，這是在過飽和範圍內，磁阻 R_a 幾乎與安培匝數的總和成正比地改變的緣故。

當電流 I_c 增加時，安培匝數的總和 $I_n W_n - I_c W_c$ 減小，系統開始變成不飽和，於是，總磁通 Φ 及電壓 U_e 都隨着減小。這種情況下的發電機外特性曲線將如曲線 2 所示。

這種外特性曲線在負載電流改變時也不能完全精確地滿足發電機功率恒定的這個條件，但是，這根曲線在負載電流開始減小時能使功率比較迅速地增大，這是因為電壓增加得比曲線 1 來得快的緣故。

但是，在磁系統過飽和的發電機中，磁極繞組中的功率損失增大，因而降低了發電機的效率。

為了避免這種情況，可以把差復激繞組不繞在主發電機的磁極上，而繞在該發電機的激磁機的磁極上。

2. 用接在主發電機 Γ ircuit 中的差復激繞組 a 來調節激磁機 B 的激磁磁通（圖 309）。當牽引電動機 Π 所消耗的電流增加時，差復激繞組使激磁機 B 的並聯繞組 B 去磁，因而減小了送到發電機他激繞組 B 中去的激磁電流。發電機的端電壓也隨着降低。但是它的外特性曲線大致與通常差復激發電機的（圖 308 中的曲線 1）相同。為了使這根特性曲線在負載電流改變時接近於實現發電機功率恒定的這個條件，把差復激磁機做成帶有所謂分裂極，並且通常採用並聯繞組的他激磁。

這種激磁機的每個主磁極由兩部分（1 和 2）構成（圖 310）。他激繞組 H 包圍住磁極的兩部分，而差復激繞組 II 只繞在磁極的某一部分 2 上。

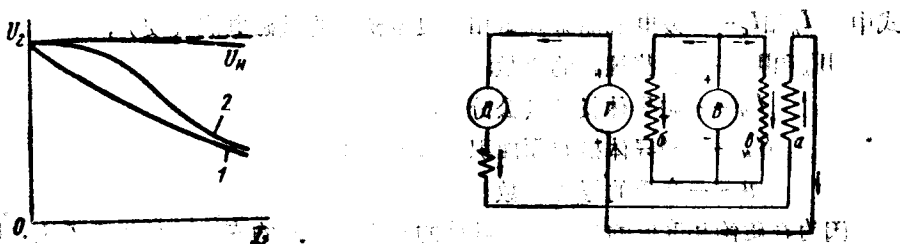


圖308 發電機的外特性曲線

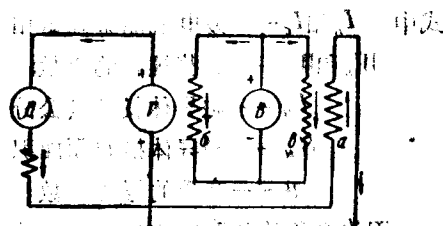


圖309 具有差復激磁機的發電機的自然調節簡圖

當差復激繞組中沒有電流時，靠他激電流的作用使磁系統過飽和，因此在開始時，差復激繞組中電流增大並不使總磁通減小，激磁機的電壓也几乎不變，所以主發電機的激磁電流以及主發電機的端電壓 U_2 也几乎不變（圖311）。

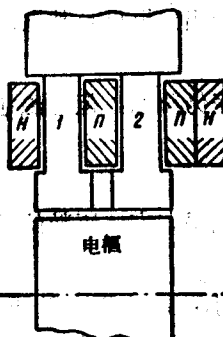


圖310 激磁機的分裂極

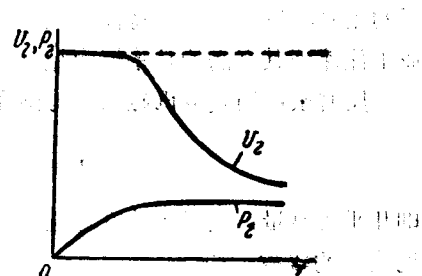


圖311 具有差復激磁機（有分裂極）的發電機的外特性曲線

隨着繞組II中電流的增加，磁極的部分 β 逐漸去磁，因而發電機電壓 U_2 降低。當這個繞組中的電流為某一個值時，磁極的部分 β 完全去磁，而當電流繼續增加時，磁極開始產生相反方向的磁通，並重新逐漸地飽和。隨著飽和度的增加，發電機電壓 U_2 的降落越來越慢，當繞組中電流大的時候，電壓 U_2 接近於某一個恆定的數值。

在這種情況下，發電機的外特性曲線能夠在較大的負載（工作）電流變化範圍中足夠精確地滿足發電機功率 P_2 恆定的條件（圖311）。在激磁機中採用差復激繞組後，能減少激磁系統中的功率損失，因為激磁機中的安培匝數要比主發電機直接激磁時所需的安培匝數小得多。

在內燃機車運行速度增加的過程中，牽引電動機的反電動勢由於電動機電機轉速的增加而增大；電動機所消耗的電流減小，因而也連帶到發電機的電流減小，激磁機差復激繞組中的電流也減小，而發電機的電壓 U_2 則增加。這樣，它的功率 P_2 仍舊保持恆定。

但是，在內燃機車的某一個運行速度時，發電機的電壓達到極限值。

當負載電流繼續減小時，發電機電壓 U_2 仍舊保持恆定，因此，功率 P_2 開始降低。

(圖311中的曲線 P_2)。牵引力开始受到电压的限制，換句話說，受到激磁的限制。倘牵引力的这个限制，发生在內燃机車運轉時所採用的运行速度範圍中的話，則这个限制是极端不良的現象，因为它会使柴油机的功率不能充分被利用。

可以用下列方法来消除牵引力受电压的限制，或把这个限制移到工作範圍之外：

倘发电机的磁系統不飽和，則用加强激磁的办法，來增大主发电机电压的极限，或者當磁系統飽和時，則用增大磁路横剖面的办法來增大电压极限，在这两种情况下，必須相应地加强电机的絕緣。

將牵引电动机在主电路中的接綫图改变。电动机可以串联、並联和串並联（混合联接）。

當相同的 k 台电动机串联时，則通过其中每一台的电流是发电机电流 I_e ，而每台电动机的电压 U_{oe} 将等于发电机电压 U_e 的 $\frac{1}{k}$ [公式 (33)]：

$$U_{oe} = \frac{U_e}{k}.$$

當同样的这些电动机並联时，它們中間的每一台将在发电机的額定电压 U_e 下工作，而每一台电动机的电流 I_{oe} 将等于发电机額定电流的 $\frac{1}{k}$ ：

$$I_{oe} = \frac{I_e}{k}. \quad (51)$$

串並联时， k 台电动机分成 m 組，同时 m 組彼此間並联，而每組中的各电动机則串联，在这种情况下，每一台电动机中的电流等于

$$I_{oe} = \frac{I_e}{m}, \quad (52)$$

而每台电动机的电压为

$$U_{oe} = \frac{U_e}{k} = \frac{mU_e}{m}. \quad (53)$$

如果 m 組电动机串联，而每組內部的各电动机並联，則每台电动机的电流 等于：

$$I_{oe} = \frac{mI_e}{k}, \quad (54)$$

而电压

$$U_{oe} = \frac{U_e}{m}. \quad (55)$$

在內燃机車起动期間，为了获得最大的牵引力，各牵引电动机被串联起来，因此， $I_{oe}=I_e$ 。随着运行速度的增高，牵引力減小（參看圖306），並引起电动机电流 I_{oe} 和发电机电流 I_e 減小。当电流 I_e 的数值小时，牵引力便开始受到电压的限制。

对应于电压限制的开始有一个运行速度，如果在这个速度时，把电动机换接成串並联，则每台电动机的电流 I_{de} 之值仍旧像过去那样大小的話，发电机电流将增大到 m 倍，也就是 $I_e = mI_{de}$ ，同时，发电机的工作状况将符合于功率恒定的那一段曲綫（參看图311，曲綫 P_e ）。

当运行速度繼續提高以及电流 I_{de} 和 I_e 繼續減小时，可以把电动机换接成並联，因而再一次推迟电压的限制；

削弱牵引电动机的激磁磁场，这可以用平行於电动机的激磁繞組接入分路电阻的办法来达到（图312，a）。

用符号 r_c 代表串激繞組的电阻， r_w 代表分路的电阻，於是根据欧姆定律，激磁电流 I_e 等于

$$I_e = \frac{U}{r_c}, \quad (56)$$

而分路中的电流

$$I_w = \frac{U}{r_w}, \quad (57)$$

式中 U ——在由激磁繞組和分路所組成的这段电
路中的电压降。

送到电动机去的总电流 I_{de} 等于电流 I_e 与 I_w 的和，也就是：

$$I_{de} = I_e + I_w = U \left(\frac{1}{r_c} + \frac{1}{r_w} \right), \quad (58)$$

由上式得：

$$U = \frac{I_{de}}{\frac{1}{r_c} + \frac{1}{r_w}} = I_{de} \frac{r_c r_w}{r_c + r_w}. \quad (59)$$

于是激磁电流

$$I_e = \frac{U}{r_c} = \frac{I_{de} \frac{r_c r_w}{r_c + r_w}}{r_c} = I_{de} \frac{r_w}{r_c + r_w} = \alpha I_{de}, \quad (60)$$

式中 $\alpha = \frac{r_w}{r_c + r_w}$ ——电动机激磁磁场削弱系数，这个系数总是小于 1（因为 $\frac{r_w}{r_c + r_w} < 1$ ），也可以乘上100后用百分数来表示。

系数 α 与分路电阻的大小有关，改变分路电阻，就可以调节 α 的大小。

此外，也可以把各段分路电阻短接，以便分若干级来削弱电动机的激磁磁场（图312，b），在调节范围已經給定的情况下，削弱级的数目可以根据电流和牵引

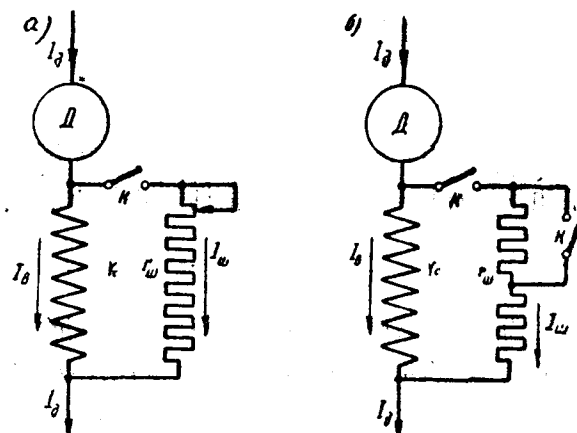


圖312 串激电动机激磁分路简圖：
a——單分路， b——兩級分路。

力在从一级转到另一级时的容许波动情况来决定。

当发电机功率恒定时，电动机靠激磁绕组加分路的办法来使其电流的改变大致与磁通成反比。牵引电动机激磁的削弱使发电机电流 I_2 相应地增加。用这种方法，可以在运行速度一直增加到使电流 I_2 减小到对应于电压限制开始时的那个值之前，不受电压的限制。採用第二級电动机磁场削弱时，可使这个限制再一次的推迟，因而发电机有可能在恒定功率的状况下工作。

3. 发电机的双曲线特性曲线能借助于电机放大器和电磁放大器来获得。但是这些电路图現在还只是試驗性的。

§4. 发电机双曲线型特性曲线的圖解获得法

为了获得他激发电机的双曲线形状的外特性曲线 $U_s = f(I_s)$ ，必須具有适当的、激磁机电压 U_e 与发电机电流 I_s 的关系曲线，也就是 $U_e = f(I_s)$ 。我們現在用下列图解法来作出这条曲线。

在象限Ⅰ中（图313），横坐标轴表示发电机电流 I_s ，而縱坐标轴表示发电压端电压 U_s ，我們在这个象限中画上需要的、双曲线形状的发电机外特性曲线 $U_s = f(I_s)$ 。

在象限Ⅱ中，由坐标轴原点向左的横坐标轴表示发电机的安培匝数 AW_s ，我們在这个象限中画上发电机的负载特性曲线 $U_s = f(AW_s)$ 。发电机双曲线特性曲线上的 a 、 b 、 c 、 d 、 e 各点分别对应于电流 I_{s1} 、 I_{s2} 、 I_{s3} 等等，通过这些点作水平直线，它们分別与负载特性曲线相交于 a_1 、 b_1 、 c_1 、 d_1 、 e_1 等点，根据这些点来求得必需的发电机安培匝数 AW_s 的大小。

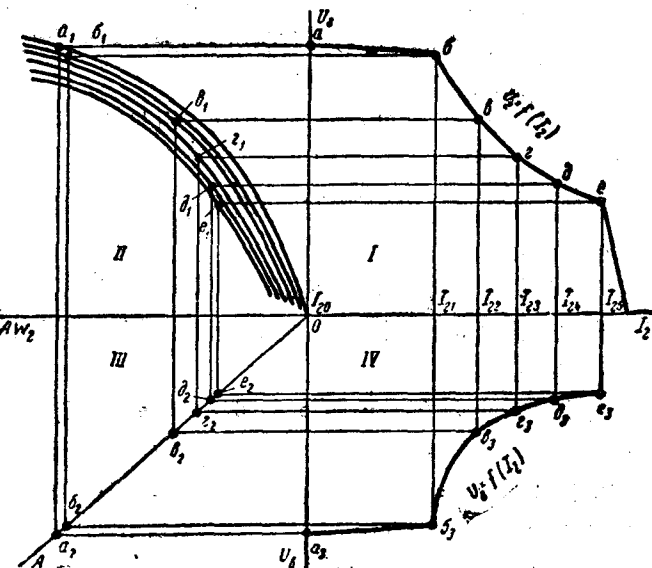


圖313 电机自然調節的圖解計算

在象限Ⅲ中，縱坐标轴表示加到发电机他激绕组上的激磁机电压 U_e ，同时，

$$U_e = I_s r_n = r_n \frac{AW_s}{W_n}, \quad (61)$$

式中 I_s ——发电机他激绕组中的激磁电流；

沙漢等著《内燃机车》

r_n —— 他激繞組的电阻;

W_n —— 他激繞組的匝数。

所以，在电压 U_e 与安培匝数 AW_e 之間存在着比例关系，因此， $U_e = f(AW_e)$ 。这个关系被画成通过坐标原点的直綫 OA 。这根直綫上的各点可决定对应的电压 U_e 的大小。

从象限Ⅱ的 $a_1 \sim e_1$ 点分別作鉛垂綫，这些鉛垂綫与直綫 OA 相交在 $a_2 \sim e_2$ 点，再从 $a_2 \sim e_2$ 点分別作水平綫，它們与从象限Ⅰ的 $a \sim e$ 点引出的鉛垂綫相交在 $a_3 \sim e_3$ 点。用一根平滑的曲綫把 $a_3 \sim e_3$ 各点連接以后，我們就获得所求的关系曲綫 $U_e = f(I_e)$ 。

在对应于曲綫上 $e_3 \sim e_5$ 区段的負載电流变化范围内，电机的自然調節实际上保証得出接近于双曲綫的发电机外特性曲綫。

§5. 内燃机車自动操縱的原理電路圖

内燃机車电力傳动装置的自動工作就是：在沒有人参加的情况下，傳动装置本身能使内燃机車柴油机工况維持稳定，这种工况基本上与三种經常远不相同的特性曲綫——柴油机的，主发电机的和牵引电动机的——有关。

此外，在需要降低速度运行时，譬如說，当列車起動时，电力傳动装置應該保証能根据司机的意志来改变柴油机的功率。

在自動調節时，柴油机的功率可以靠电机的自然調節來實現給定工况下近似恒定，這一点在§8中已經提到过。

但是，即使各机器的特性曲綫選擇得很好时，仍然发现柴油机的工况与給定的有某些偏差。

在内燃机車上規定了电机应能自然調節，又为了改善当机器繞組溫度、輔助載荷等发生变化时的发动机功率的利用起見，还經常採用特殊的发电机电压調節器，以保証實現額外的調節。

带有級聯激磁（Каскадное возбуждение）式发电机的線路图是所有採用在内燃机車上的电力傳动原理線路图的基础，在这种線路图中，为了保証发电机功率恒定而进行的激磁电流的調節，並不直接在发电机的激磁电路中实现，而是在它的激磁系統中实现。

发电机激磁系統可以有各种各样的式样，因而出現了很多种不同的線路图，这些線路图各有它們自己的优缺点。任何一种線路图的工作質量主要决定于：傳动裝置牽引特性曲綫接近于等軸双曲綫的程度，也就是在内燃机車各种运行状况时接近柴油机滿載功率充分利用的程度；以及它的可靠性，运用和修理的简单性，成本和重量。

我們将研究一下許多苏联内燃机車和外國内燃机車的具体的自动操縱電路图。

A. 具有分裂式的差复激磁机的線路圖。主发电机 Γ 的他激繞組 \mathcal{Z} （图314）